

Ekstrakranyal Karotis Arter Stenozunun Tanısı: Spiral Bilgisayarlı Tomografik Anjiografi ile İlk Deneyimlerimiz

610

Poyanlı*, Şükrü Dilege**, İnci Baltepe*, Murat Kayabaklı**, izzet Rozanes*

İstanbul Üniversitesi İstanbul Tıp Fakültesi Radyoloji Anabilim Dalı

İstanbul Üniversitesi İstanbul Tıp Fakültesi Genel Cerrahi Anabilim Dalı, Periferik Damar Ünitesi

ÖZET

Amaç: Bu çalışmada karotis arter stenozunun spiral bilgisayarlı tomografik anjiografi (BTA) ile değerlendirilerek, sonuçların dijital substraksiyon anjiografi (DSA) bulgularıyla karşılaştırılması ve spiral BTA'nın tanısal değerinin araştırılması amaçlanmıştır.

Materyal ve Metod: Aralık 1999 ile Mayıs 2000 tarihleri arasında, on olguda ekstrakranyal karotis arter hastalığının değerlendirilmesi amacıyla spiral BTA yapıldı. Olguların altısı (%60) kadın, dördü (%40) erkek olup, yaşları 62-74 (ortalaması 69,1) arasında değişmekteydi. Stenoz derecesi, The North American Carotid Endarterectomy Trial (NASCET) tarafından belirlenen kriterler gözden geçirilerek sınıflandırıldı.

Bulgular: Siddetli hareket ve yutkuma artefaktları nedeniyle karotis arterlerin螺旋 BTA ile değerlendirilemediği bir çalışma dışında bırakılmıştır. Semptomatik cerebrovasküler hastalık hikayesi olan ve doppler US ile şiddetli stenoz saptanan dokuz olguda spiral BTA ile de >70% stenoz saptanmıştır. Bu olguların tamamında internal karotis arter (IKA) stenoz derecesi DSA bulgulanıyla tam korelasyon göstermiştir. Geçici iskemik atak hikayesi olan bir olguda da spiral BTA ile hafif stenoz saptanmış ve bu olguda takip kararı alınmıştır.

Sonuç: Spiral BTA, multiplanar inceleme özelliği, plak kalsifikasyonu, stenoz derecesini belirlemektedeki başarıları ve verdiği ayrıntılı anatomik bilgiyle karotis arter hastalığının değerlendirilmesinde gelecek vaat eden, güvenli bir görüntüleme yöntemidir. Ancak elde edilen bulguların daha geniş çalışma gruplarında yapılacak incelemelerle desteklenmesi gerekmektedir.

Anahtar Kelimeler: Karotisler, stenoz ve tikanma, bilgisayarlı tomografi

SUMMARY**DIAGNOSIS OF EXTRACRANIAL CAROTID STENOSIS:** Our initial experience with spiral CT angiography

Purpose: The purpose of this study was to investigate the diagnostic value of spiral CT angiography (CTA) in carotid artery stenosis and to compare the results with digital subtraction angiography (DSA) findings.

Material and Methods: Between December 1999 and May 2000, spiral CTA was performed in ten patients for evaluation of extracranial carotid artery disease. There were six females (60 %) and four males (40 %) with an age range of 62-74 (average: 69,1 years). Degree of stenosis has been classified according to the criteria established by The North American Carotid Endarterectomy Trial (NASCET).

Results: One case has been excluded from the study due to severe motion and swallowing artifacts resulting in suboptimal CTA. >70 % stenosis has been detected in spiral CTA in nine cases with symptomatic cerebrovascular disease and severe stenosis on Doppler sonography. Degree of stenosis in the internal carotid artery was in precise agreement with DSA findings in all of these cases. In one case with history transient ischemic attack, minor stenosis has been detected in spiral CTA and conservative follow up has been agreed upon.

Conclusion: Spiral CTA is a safe and promising modality in the evaluation of carotid artery stenosis with its multiplanar imaging capability, superior anatomic detail and ability to detect calcifications and exact degree of stenosis. On the other hand, the results need to be supported with data from larger series.

Key Words: Carotid arteries, stenosis or obstruction; Computed tomography ; Three dimensional imaging.

Karotis arterinin, bilgisayarlı tomografi (BTT) ile değerlendirilmesi yeni bir görüş değildir ve aksiyel BT kesitleri kullanılarak görüntülenmesi ilk kez 1982 yılında gündeme

gelmıştır (1).

Bilgisayarlı tomografik anjiografinin (BTA) geliştirilmesi ise spiral BT cihazlarının kullanıma sunulmasıyla mümkün olabilmisti. Spiral BT'nin



Resim 1a,b. Üç başta önce aniden başlayan sol kol ve bacak güçsüzlüğü şikayetleri bulunan 70 yaşındaki bayan hastanın (a) MIP görüntüleri ve (b) ilç boyutlu BTA'larda sağ İKA proksimalindeki >95% stenoz izlenmektedir.

özelliği, hasta dönen gantry içinde sürekli ilerlerken, hızla ve devamlı bilgi alınabilmesidir (2). Bu şekilde saniyeler içinde, sıkılıkla tek bir nefes tutma periyodunda, değerlendirilecek bölge tanınamakta ve hareket ve solunuma bağlı artefaktlar minimalde indirgenebilmektedir. İntravenöz (IV) bolus tarzında kontrast madde verildikten sonra zamanlama doğru yapıldığı takdirde, incelenenek olan vasküler yapıyı içerisindeki kontrast madde miktarının en yüksek olduğu dönemde görüntülemek mümkün olabilmektedir (3). Bu kaynak görüntülerin rekonstrüksiyonu sonucunda konvansiyonel anjiografiye benzer görüntüler elde edilmekte ve konvansiyonel anjiografiden farklı olarak tek dozda kontrast madde ile taranan bölgeden elde edilen görüntülerin istenen planda değerlendirilebilmesi mümkün olmaktadır.

Bu çalışmada karotis arter stenozunun spiral BTA ile değerlendirilerek, sonuçların dijital substraksiyon anjiografi (DSA) bulgularıyla karşılaştırılması ve spiral BTA'nın tanısal değerinin araştırılması amaçlanmıştır.

GEREÇ ve YÖNTEM

Aralık 1999 ile Mayıs 2000 tarihleri arasında,

10 olguda ekstrakranyal karotis arter hastalığı değerlendirilmesi amacıyla spiral BTA yapıldı. Olguların altısı (%60) kadın, dördü (%40) erkek olup, yaşıları 62-74(ortalama 69.1) arasında değişmekteydi.

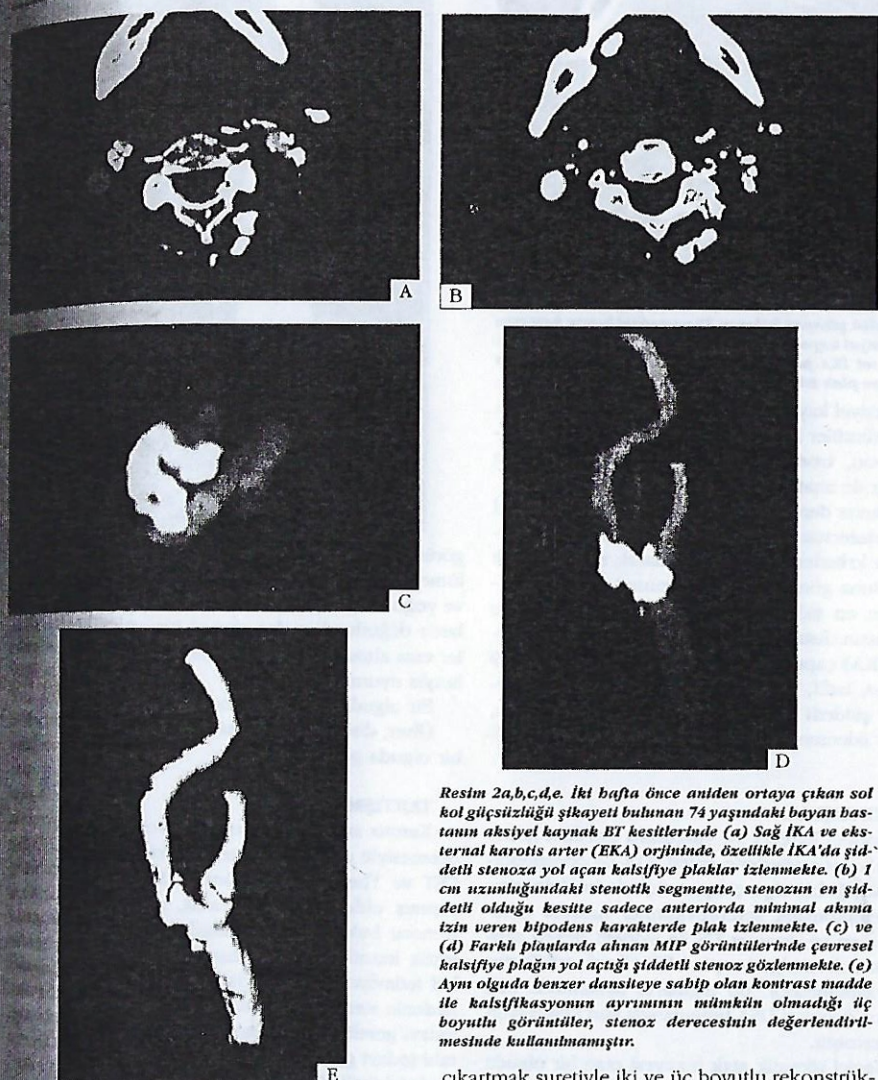
Semptomatik cerebrovasküler hastalık hikayesi olan dokuz olguda doppler ultrasonografi (US) ile şiddetli stenoz saptanırken, bir kez geçirilmiş ön sistem geçici iskemik atak bulgusu içinde eden bir olguda ise, kalsifiye plak nedeniyle doppler US ile stenoz derecesi belirlenememiştir.

Çekimler, Somaris/2 Plus S B30B Spiral BTA (Siemens, Erlangen, Almanya) ile gerçekleştirildi.

Servikal topogram alındıktan sonra, servikal alt-yedi disk mesafesinden başlanarak superior doğru, kafa tabanına dek uzanan alan tarandı.

100 ml nonionik kontrast madde, antekubital vene yerleştirilen 20 G'lik kanül yoluyla ve pompa enjektörle 3 ml/sn hızla verildi. Kontrast madde verilmeye başlandıktan 15 sn sonra, kisit kalınlığı ve aralığı 2 mm, masanın biri 1 mm/sn olacak şekilde çekime başlandı. Çekim süresi taranan bölgenin uzunluğuna göre 20-30 sn arasında değişmekteydi.

Çekim tamamlandıktan sonra kesit kalınlığı



Resim 2a,b,c,d,e. İki hafta önce aniden ortaya çıkan sol kol gülüşünlüğü şikayeti bulunan 74 yaşındaki bayan hastanın aksiyel kaynak BT kesitlerinde (a) Sağ IKA ve eksternal karotis arter (EKA) orjininde, özellikle IKA'da şiddetli stenoza yol açan kalsifikasiye plaklar izlenmektedir. (b) 1 cm uzunluğundaki stenotik segmentte, stenozun en şiddetli olduğu kesitte sadece anteriorda minimal akma izin veren bipodens karakterde plak izlenmektedir. (c) ve (d) Farklı plaklarda ahnans MIP görüntülerinde çevresel kalsifikasiye plaqın yol açtığı şiddetli stenoz gözlenmektedir. (e) Aynı olguda benzer dansiteye sahip olan kontrast madde ile kalsifikasyonun ayrılmamasının mümkün olmadığı üç boyutlu görüntüler, stenoz derecesinin değerlendirilmesinde kullanılmıştır.

olacak şekilde rekonstrüksiyon gerçekleştirildi.

Elde edilen aksiyel kesitler, spiral BT cihazı software'inde bulunan volume rendering teknique (VRT) programı kullanılarak, karotis arter dalları görüntü alanına alınıp; kemik, lakkırda kalsifikasyonları ve jugüler veni

çıkartmak suretiyle iki ve üç boyutlu rekonstrüksiyonu yapılacak imajlar haline getirildi. Bu imajlar kullanılarak iki boyutlu görüntüler olan maximum intensity projection (MIP) görüntülerini ve spiral BT cihazının software'inde bulunan surface shaded display (SSD) algoritması kullanılarak, üç boyutlu görüntüler elde edildi.

Rekonstrüksiyon için gerekli süre 20-40 dakika arasında değişmekteydi.



Resim 3a,b. İki saat önce antiden başlayan sol bacakta güçsüzlik şikayeti bulunan 59 yaşındaki bayan hastanın (a) aksiyel kaynak görüntülerinde ve (b) MIP görüntülerinde sol İKA proksimalinde şiddetli stenoza yol açan kalsifikasiye plak izlenmektedir.

Aksiyel kaynak görüntüler ile iki ve üç boyutlu görüntüler kullanılarak stenoz derecesi, kalsifikasyon, trombus, ülsere plak ve diseksiyon varlığı ile anatomi varyasyonları araştırıldı.

Stenoz derecesi, The North American Carotid Endarterectomy Trial (NASCET) tarafından belirlenen kriterler gözönüne alınarak sınıflandırıldı (4). Buna göre karotis stenozunun derecesi, stenozun en şiddetli olduğu segmentteki çap ile stenozun distalindeki normal internal karotis arter (İKA) çapı karşılaştırılarak belirlendi. % 0-29 stenoz; hafif, % 30-69 stenoz; orta, % 70-99 stenoz; şiddetli stenoz olarak değerlendirilirken, akım izlenmemesi okluzyon olarak nitelendirildi.



Görüntülerde kalsifikasyonun komşuluğundaki lümenin değerlendirilmesini engelleyen çevreden ve yoğun kalsifikasyon bulunmaktadır. Bu olgularda değerlendirilmeler aksiyel kaynak görüntülerde esas alınarak yapıldı ve sonuçlar DSA bulgularıyla uyumlu bulundu.

Bir olguda şiddetli tortüozite izlenmiştir.

Ülser, diseksiyon ve anatomi varyasyon hiç bir olguda gözlenmemiştir.

SONUÇLAR

Şiddetli hareket ve yutkunma artefaktı nedeniyle karotis arterlerin spiral BTA ile değerlendirilemediği bir olgu çalışma dışında bırakılmıştır.

Semptomatik cerebrovasküler hastalık hikayesi olan ve doppler US ile şiddetli stenoz saptanan dokuz olguda spiral BTA ile de >%70 stenoz saptanmıştır. Bu olguların tamamında İKA stenoz derecesi DSA bulgularıyla tam korelasyon göstermiştir.

Geçici iskemik atak hikayesi olan bir olguda ise spiral BTA ile hafif stenoz saptanmış ve bu olguda takip kararı alınmıştır.

Spiral BTA ile hiçbir olguda yalancı pozitif okluzyon tanısı konmamıştır.

Karotis arterlerin servikal segmentinde fokal ve altındaki lümenin değerlendirilmesini engellemeyen kalsifikasyon tüm olgularımızda bulunmaktadır. Ancak üç (% 30) olguda, üç boyutlu

TARTIŞMA

Karotis arter hastalığında stroke riski, stenoz derecesiyle direkt bağlantı göstermektedir. NASCET ve The European Carotid Surgery Trial'ın yapmış oldukları çalışmalarında, şiddetli karotis stenozu bulunan semptomatik olgularda, profilaktik karotis endarterektomisinin (KEA) medikal tedaviye üstünlüğü ispatlanmıştır (4, 5). Bendenle stenoz derecesinin belirlenmesi cerrahi tedavi gereklilik olguların (şiddetli stenoz), cerrahi tedavi gerektirmeyen olgulardan ayırmayı da sindan büyük önem taşımaktadır.

Günümüzde yukarıda sözü edilen çalışmalarınlığında pek çok ülkede giderek artan sıkılıkta KEA yapılmaktadır ve buna rağmen operasyona bağlı morbidite ve mortalite oranları genel mekte ve %3'ün altında olarak bildirilmektedir (4, 6). Perioperatif risk azaldıkça, karotis arter hastalığının tanısında altın standart olarak kabul



Şekil 4. Dört gün önce antiden başlayan sol kol ve bacak pıptığı şikayetleri bulunan 70 yaşındaki bayan hasta üc boyutlu BTA görüntüsünde sağ IKA'da stenoz ve tortozite gözlenmektedir.

edilen diagnostik anjiografinin %0.9-3.9 oranlarında bildirilen mobidite ve mortalite riski daha çok tarişilmeye başlanmıştır (7). Karotis anjiografisinin riskleri gözardı edilebilir, maliyeti hale dupleks sonografi, manyetik rezonans anjiografi (MRA) ve spiral BTA'yi aşmaktadır. Bu bulgular anjiografiye alternatif olabilecek, etkin, güvenli, ucuz ve invazif olmayan modalitelerin arayışına neden olmuştur. Dupleks sonografi, MRA ve son yıllarda螺旋 BTA üzerinde çalışılan bu alternatif görüntüleme yöntemlerini oluşturmaktadır. Bir ön çalışma niteliğinde olan bu çalışmada karotis arter stenozunda spiral BTA'nın tansiyonun araştırılması amaçlanmıştır.

Bu çalışmada spiral BTA ile her olguda doğrudan karotis stenozu derecelendirmesi gerçekleştirılmıştır ve bulgular literatürle uyumlu bulunmaktadır (8-11). MRA ve sonografinin en büyük dezavantajlarından biri olarak kabul edilen pre-destabilizif hastalık-oklüzyon ayrılmadaki hatalar, spiral BTA'da izlenmemektedir ve şiddetli stenoz oklüzyonun ayrılmadında spiral BTA'nın doğrudan oranı %100 olarak bildirilmektedir (8, 9).

Cumming ve ark. anjiografi ile %100 oklüzyon olmadığını söyleyemedikleri bir olguda, spiral BTA ile çok net bir şekilde arterin oklüzye olmadığını ortaya konabildiğini bildirmiştir (9). Dillon ve ark. benzer bir olguya 1993 yılında bir çalışmalarında sunmuşlardır (12). Bu olgularda spiral BTA'nın, anjiografiye üstün olması, BT'nin kontrast dansitesindeki değişikliklere daha duyarlı olmasına ve kan akımının ileri derecede azaldığı olgularda da damarın dolmasına izin verecek yeterli inceleme süresinde gerçekleştirilemesine bağılmışlardır (9, 12).

BT ile çok ince kalsifikasyonların dahi büyük bir hassasiyetle gösterilebilmesi, spiral BTA'yı kalsifikasyonun gösterilmesinde anjiografi de dahil olmak üzere tüm modalitelere daha üstün hale getirmektedir. Link ve ark. yapmış oldukları çalışmalarında hastaların sadece %56'sında kalsifiye plakların DSA ile doğru olarak yorumlandığını bildirmiştir (11). Dupleks incelemede bilgi almanın mümkün olmadığı ve MRA'da sinyal kaybına neden olan cepeçevre kalsifiye plak bulunan olgularda, aksiyel kaynak kesitler ve MIP görüntüleri kullanılarak spiral BTA ile stenozun derecesini net bir şekilde ortaya koymak mümkündür (8-11). Bu olgularda kullanılan eşik değer nedeniyle kontrast madde ile kalsifikasyonun ayrimının mümkün olmadığı üç boyutlu görüntüler kullanılmamaktadır (11). Kalsifiye plakların BT cihazında bulunan programlarla yok edilmesi mümkün ancak kalsifikasyonla birlikte ona komşu piksellerin de uzaklaştırılması, stenozun olduğundan daha fazla değerlendirilmesine yol açtırdan tercih edilmektedir (3, 13).

Ülsere plaklar, emboli riskini artırıbmaktadır ve bu nedenle saptanmaları büyük önem taşımaktadır (14). Cumming ve ark. anjiografide ülsere plak saptadıkları tüm olgularda, spiral BTA ile de bunu doğruladıklarını bildirmiştir (9). Literatürde çok küçük ülserasyon ve düzensizliklerin, multiplolar olması ve damar lümeni ile damar duvarını inceleme özelliğine sayesinde, spiral BTA ile daha iyi ortaya konabileceği vurgulanmaktadır. Sınırlı sayıda olgudan oluşan çalışma grubumuzda ise ülsere plak izlenmemiştir.

Karotis arterde aşırı tortüöz seyir ve loop oluşumu, özellikle bifurkasyon stenozu ile birlikte olduğunda cerrahi tedavi gerekliliktedir (12). MRA'da akım artefaktlarına yol açan loop ve kink'ler, lümen içindeki akımdan bağımsız

olarak lümendeki kontrast madde miktarını yanıt ve dolayısıyla akıma bağlı artefaktların izlenmediği, spiral BTA ile net bir şekilde ortaya konabilmektedir (11, 15). Bu çalışmada da bir olguda şiddetli stenoz ile birlikte olan loop oluşumu cerrahi tedavi ile düzeltilmiştir.

Serebral anjiografinin, başka hiçbir görüntüleme yöntemiyle başarılımayan temel avantajı, tüm damarların ayrıntılı olarak incelenmesidir. Anjiografıyla karşılaşıldığında, spiral BTA'nın bir diğer dezavantajını tandem lezyonların inceleme alanı dışında kalabilmesi oluşturmaktadır. Ancak KEA sonrası semptomların iyileşmesi, operatif stroke, geç stroke ve operatif mortalite riski açısından tandem lezyonu olan ve olmayan gruplar arasında istatistiksel olarak anlamlı fark olmadığı bilinmektedir (16-18).

Spiral BTA, dupleks sonografiden farklı olarak, uygulanan kişiden bağımsız, standardize edilmiş bir işlemidir. Bununla birlikte standardize sonuçların elde edilmesi, uygun protokol ve inceleme tekniği ile yeterli miktar ve hızda kontrast madde kullanımına bağlıdır.

Spiral BTA, sadece IV kontrast madde injeksiyonunu gerektiren minimal invazif bir girişimdir ve hasta anjiografiden daha az miktarda radyasyona maruz kalmaktadır (10). Elde edilen kaynak görüntülerin istediği zaman, ek kontrast madde kullanımına gerek kalmadan, istenen planda rekonstrüksiyonu gerçekleştirilebilmektedir (3). Spiral BTA ile anjioografi görüntülerine benzer rekonstrüktif görüntüler elde edilmekte ve bu şekilde yorumlanması kolaylaştırılabilir.

Spiral BTA'da inceleme kısa ve geniş bir gantry içinde gerçekleştirildiğinden klostrofobi sınırlı bir sorundur.

MRA'dan farklı olarak kardiyak pacemaker gibi implantı olan olgularda rahatlıkla uygulanabilemektedir.

Spiral BTA'nın nörolojik komplikasyon riski bulunmamaktadır (10). Kontrast maddeye karşı alerjik reaksiyon ve böbrek fonksiyonlarının yetersiz olması螺旋 BTA'nın kontrendikasyonlarını oluşturmaktadır.

İnceleme çok kısa bir süre içinde gerçekleştirildiğinden, spiral BTA ile hareket ve solunum artefaktları minimale indirgenebilmektedir. Ancak yine de hasta ile kooperasyon şarttır. Bu çalışma grubunda bir olgu hastalık hakkında yeterli bilgi edinilmesini engelleyen şiddetli hareket

ve yutkunma artefaktı nedeniyle çalışma dışında bırakılmıştır.

Son yıllarda literatürde, IV kontrast madde verilerek gerçekleştirilen üç boyutlu MRA'lar (3B MRA), MRA'nın, stenoz derecesinin abartılı yorumu, yutkunma veya hareketten kaynaklanan artefaktlar, damarların dallanma ya da düğülerinden veya atherom plağındaki eski kanama ve kalsifikasyonların yol açtığı lokal alan heterojenitesinden kaynaklanan akım artefaktları gibi sınırlamalarının üstesinden gelebilecek, gelecek vaat eden bir görüntüleme yöntemi olduğunu dair çalışmalar bildirilmektedir (19, 20). Bu teknikle şiddetli stenoz bulunan segment ve stenoz distalinde izlediğimiz çok yavaş akımlar dahi kolaylıkla saptanarak, stenoz derecesini DSA'ya benzer tekniklerle ölçülebildiği ileri sürülmektedir. Şu an için 3B MRA ile karotis stenozunun tam derecesini saptamak için kullanılacak optimal kontrast madde miktarı, hızı, kullanılacak matriks ve kontrast madde verdikten ne kadar sonra çekime başlanacağı cevaplanması gereken, üzerinde çalışılan sorulardır.

Sonuç olarak spiral BTA, kullanım kolay ve karotis bifurkasyonundaki stenoz derecesinin saptanmasında etkin ve güvenli bir tanı yöntemidir. İşlemi temelini DSA'da olduğu gibi damar lumenini kontrast madde ile doldurmak oluşturmaktadır ve spiral BTA ile plak morfolojisini ve kalsifiye stenotik lezyonlar net bir şekilde ortaya konabilmektedir. Bundan sonraki aşamaları spiral BTA ve ona en yakın doğruluktaki kişiye bağlı olmayan modalite olan kontrastlı 3B MRA'nın bulgularını karşılaştırınan çalışmalar yapılması, elde edilen umut verici bulguların geniş çalışma gruplarıyla desteklenmesi ve teknolojiyi gelişmelerle, görüntü kalitesi ve görüntüleme işlenmesi aşamasındaki ilerlemeler olmaktadır.

KAYNAKLAR

- Riles TS, Posner MP, Cohen WS, et al. The totally occluded carotid artery: Preliminary observations using rapid sequential computerized tomographic scanning. Arch Surg 1982; 117: 1185-1188.
- Siemens Medical Systems. Spiral volumetric CT with single-breath-hold technique, continuous transport, and continuous scanner rotation. Radiology 1990; 176: 181-183.
- Napel S, Marks MP, Rubin GD, et al. CT angiography using helical CT and maximum intensity projections. Radiology 1992; 185: 607-610.

- North American Symptomatic Carotid Endarterectomy Trial Collaborators. Beneficial effect of carotid endarterectomy in symptomatic patients with high-grade carotid stenosis. *N Engl J Med* 1991; 325: 445-453.
- European Carotid Surgery Trialists' Collaborative Group. MRC European Carotid Surgery Trial: Interim results for symptomatic patients with severe (70% and 99%) or with mild (0% and 29%) carotid stenosis. *Lancet* 1991; 337: 1235-1243.
- Musser DJ, Nicholas CG, Reed JF III. Death and adverse cardiac events after carotid endarterectomy. *J Vasc Surg* 1994; 19: 615-622.
- Hanl R, Eisenberg R, McDonald E, et al. Complication of catheter cerebral angiography: Analysis of 5000 procedures-I. Criteria and incidence. *Am J Roentgenol* 1978; 131: 861-865.
- Marks MP, Napel S, Jordan JE, et al. Diagnosis of carotid artery disease: preliminary experience with maximum-intensity-projection spiral CT angiography. *AJR* 1993; 160: 1267-1271.
- Cumming MJ, Morrow IM. Carotid artery stenosis: a prospective comparison of CT angiography and conventional angiography. *AJR* 1994; 163: 517-523.
- Link J, Broßmann J, Pensel V, et al. Common carotid artery bifurcation: Preliminary results of CT angiography and color-coded duplex sonography compared with digital subtraction angiography. *AJR* 1997; 168: 361-365.
- Link J, Broßmann J, Grabener M, et al. Spiral CT angiography and selective digital subtraction angiography of internal carotid artery stenosis. *AJNR* 1996; 17: 89-94.
- Dillon EH, van Leeuwen MS, Fernandez MA, et al. CT angiography: application to the evaluation of carotid artery stenosis. *Radiology* 1993; 189: 211-219.
- Schwartz RB, Jones KM, Chernoff DM, et al. Common carotid artery bifurcation: evaluation with spiral CT. *Radiology* 1992; 185: 513-519.
- Fisher M, Martin A, Cosgrove M. Carotid artery plaques in the NASCET and ACAS projects (abstr). *Neurology* 1992; 42(S-3): 204.
- Patel MH, Klufas RA, Kim D, et al. MR angiography of the carotid bifurcation: artifacts and limitations. *AJR* 1994; 162: 1431-1437.
- Schuler JJ, Flanagan DP. Tandem lesions of the extracranial and intracranial carotid artery: Management and results. In: Moore WS, ed. *Surgery for cerebrovascular disease*. Philadelphia: W.B. Saunders Company, 1996: 513-519.
- Schuler JJ, Flanagan DP, Lim LT, et al. The effect of carotid siphon stenosis on stroke rate, death and relief of symptoms following elective carotid endarterectomy. *Surgery* 1982; 92: 1058-1067.
- Roederer GO, Langlois YE, Chan ARW, et al. Is siphon disease important in predicting outcome of carotid endarterectomy? *Arch Surg* 1983; 118: 1177-1181.
- Alley MT, Shifrin RY, Pelc NJ, et al. Ultrafast contrast enhanced three dimensional MR angiography: State of the art. *Radiographics* 1998; 18: 273-285.
- Willig DS, Turski PA, Frayne R, et al. Contrast enhanced 3D MR DSA of the carotid artery bifurcation: Preliminary study of comparison with unenhanced 2D and 3D time of flight MR angiography. *Radiology* 1998; 208: 447-451.